

FAG

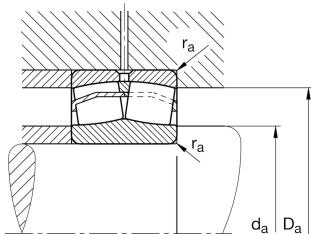
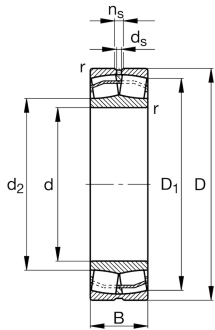
22330-E1-XL-T41A

Радиальный сферический роликоподшипник

Радиальный сферический роликоподшипник 223...E1-XL-T41A, симметричный с направляющим кольцом сепаратора, для вибрационных нагрузок, с суженными допусками диаметров

X-life

Техническая информация



Ваш текущий вариант продукта

Design	E1	Without central rip
Исполнение отверстия	Z	Цилиндрическое
Cage	JPA	Стальной сепаратор, штампованный
Радиальный зазор	C4 (Group 4)	Internal clearance larger than C3
Relubrication facility	Standard	Стандарт
Spherical roller bearing for vibrating screens	T41A	For vibrating screens

Основные размеры и рабочие характеристики

d	150 mm	Диаметр отверстия
D	320 mm	Наружный диаметр
B	108 mm	Ширина
C _r	1.640.000 N	Динамическая грузоподъемность, радиальная
C _{0r}	1.850.000 N	Статическая грузоподъемность, радиальная
C _{ur}	151.000 N	Предел усталостной нагрузки, радиальный
n _G	2.290 1/min	Предельная частота вращения
n _{gr}	1.520 1/min	Номинальная тепловая частота вращения
m	39,5 kg	Вес



Присоединительные размеры

$d_{a \min}$	167 mm	Мин. диаметр заплечика вала
$D_{a \max}$	303 mm	Макс. диаметр заплечика корпуса
$r_{a \max}$	3 mm	Макс. радиус галтели

Габаритные размеры

r_{\min}	4 mm	Мин. размер монтажной фаски
D_1	273,2 mm	Диаметр отверстия наружного кольца
d_2	185,3 mm	Диаметр дорожки качения внутреннего кольца
d_s	9,5 mm	Диаметр смазочного отверстия
n_s	17,7 mm	Ширина смазочной канавки

Диапазон температур

T_{\min}	-30 °C	Мин. рабочая температура
T_{\max}	200 °C	Макс. рабочая температура

Коэффициенты для расчета

e	0,33	Предельное значение F_a/F_r для применимости различн. значений коэффициентов X и Y
Y_1	2,02	Динамический коэффициент осевой нагрузки
Y_2	3	Динамический коэффициент осевой нагрузки
Y_0	1,97	Статический коэффициент осевой нагрузки



Характеристики



Радиальная нагрузка



Осевая нагрузка в одном направлении



Осевая нагрузка в обоих направлениях



Смазывание пластичной смазкой



Смазывание маслом



Без уплотнений



Статические угловые и линейные несоосности



Динамические угловые и линейные несоосности